

短文

基于多 ANN 模型的复杂系统长时段预报

高峰 李人厚

(西安交通大学系统工程研究所 西安 710049)

摘要 提出一种多 ANN 结构的极值聚类训练算法, 并将这种方法应用于复杂系统长时段预报。采用这种方法, 可以提高长时段预报精度、增强模型的可靠性。以这种模型为基础可以进一步建立基于多 ANN 模型的复杂系统预测控制。

关键词 多 ANN 结构, 多层前馈网络, 非线性系统预报。

1 引言

多 ANN 结构, 是由多个相对独立、相互连接、协同作用的子 ANN 或称 ANN 模块组成的系统。它是一种新型的神经元网络系统, 是在更高层次上对人脑结构的模拟。人脑正是由于这种层次化、模块化的组织形式才产生出复杂、高级的智能行为。

用多 ANN 结构的方法可以得到高度可靠的神经元网络系统, 这种思想曾被许多 ANN 研究者用来解决复杂问题^[1-4]。为了解决复杂函数的逼近问题, 本文作者也曾采用了多 ANN 方法^[5], 极大地改善了 ANN 的逼近能力。

2 多 ANN 结构

多 ANN 结构如图1所示, 内部通常包含两种类型的网络: 一是实现某种映射关系的子网络, 二是协调各子网络之间关系的

门控网络。一般在一个多 ANN 结构中, 有多个子网络, 而仅有一个门控网络。各子网络具有相同的输入但生成各自独立的输出, 而整体的输出是门控网络对各子网络输出值的加权和:

$$y = \sum_{s=1}^n g_s \cdot y_s, \quad (1)$$

其中 y_s 表示第 s 个子网络的输出值。
对于多 ANN 结构来说子网络的结构

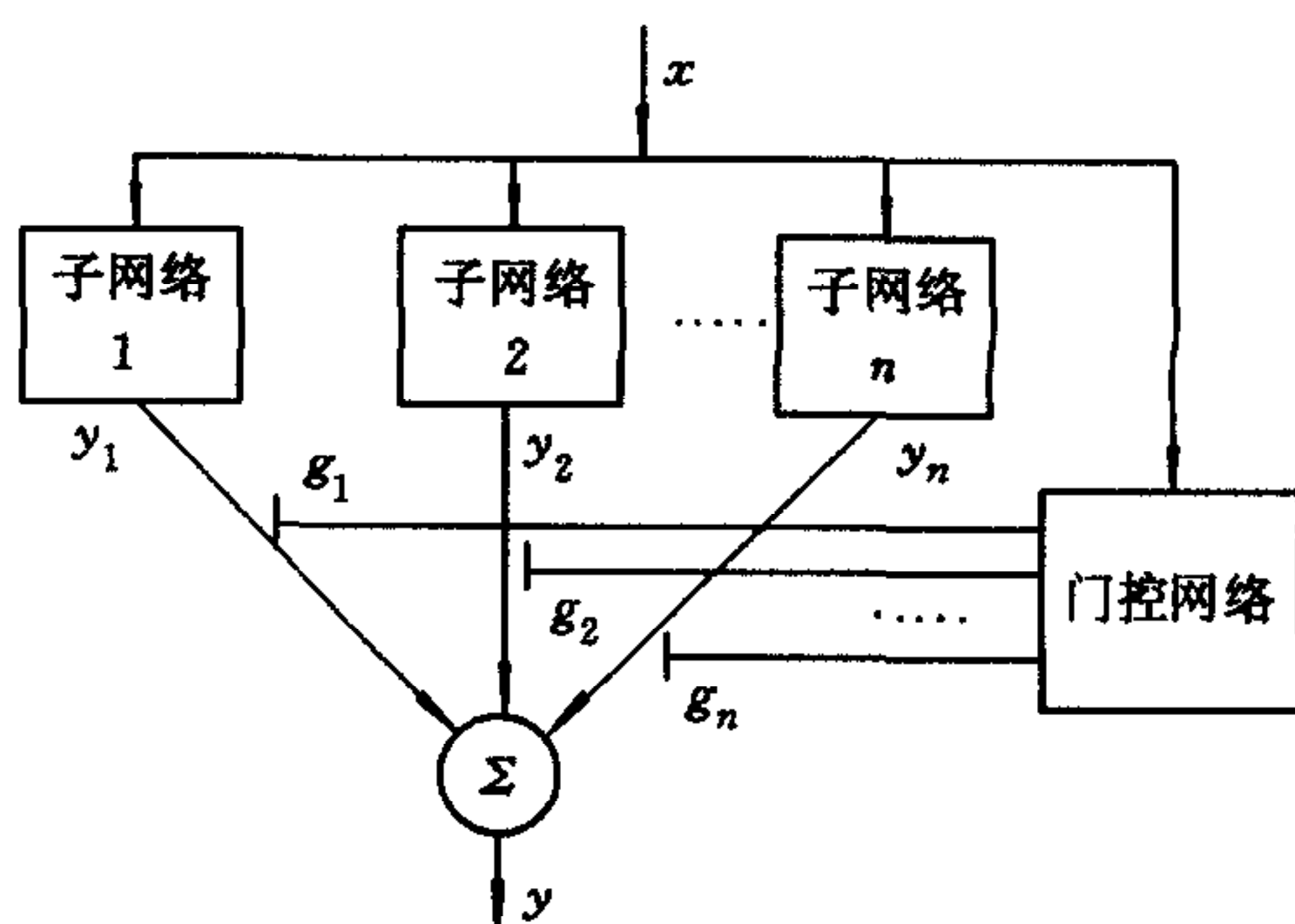


图1 多 ANN 结构示意图

形式可以是任意的, MFNN, RBF, FLN, CMAC 等都是可取的, 只要它们具有良好的对非线性映射的逼近特性. 这里为了使问题简化, 假设各子网络一律采用三层前馈网络的形式, 用式

$$y_s = W_s^2 \sigma(W_s^1 x + B_s^1) + B_s^2 \quad (2)$$

统一描述. 门控网络的输入与各子网络的输入相同, 对应于每一个子网络有一个输出量, (1)式中 g_s 表示其第 s 个输出. 门控网络的作用是分配各子网络在整体映射关系中的角色. 根据当前时刻的输入值, 按照某种原则产生输出, 即各子网络输出的加权值, 进而决定对各子网络的选择性. 门控网络的特性决定了整个多 ANN 结构的工作情况.

3 基于极值聚类的多 ANN 训练算法

3.1 极值聚类算法

现有的多 ANN 结构聚类实现方法, 往往只是对输入空间进行聚类, 没有考虑样本的输出特征, 得到的划分仅仅体现了样本输入的分布关系, 不能体现出函数映射本身的简单性或复杂性.

通过对 MFNN 的分析可以知道, MFNN 实现的映射是由各隐节点决定的一组饱和上升曲面加权叠加. 划分子区域必须使各子区域中函数易于用这种曲面叠加形式来逼近, 这就是 MFNN 对函数简单性的要求. 从这一特点出发, 如果划分使得各区域中函数都是单极值的, 那么在各区域中用子网络逼近时, 隐节点的方向几乎都是指向极值点或与此相反, 隐节点之间的耦合现象非常少, 逼近比较容易.

为得到这种划分形式, 就要对样本集合进行极值聚类. 对此提出一种简捷而有效的搜索样本集局部极值点的方法, 可以对样本集中蕴涵的函数关系进行极值聚类.

设样本集合为 $\{(x_i, y_i), i=1, 2, \dots, P\}$, 则极值聚类算法如下:

- 1) 设置初始值. 确定样本划分类数 K , 选择 K 个初始聚类中心.
- 2) 按样本输入值的邻近关系, 确定样本集中各样本的归属关系. 对于第 i 个样本 (x_i, y_i) , 如果 $\|x_i - c_k\| < \|x_i - c_j\|$, $j=1, 2, \dots, K$, C_k 和 C_j 为第 k 和第 j 个样本子集的聚类中心, 则 $(x_i, y_i) \in D_k$, D_k 表示第 k 个样本聚类中心的子集.
- 3) 按下面的关系更新聚类中心: 搜索局部极大值时, 对第 k 个聚类, 如果有 $(x_i, y_i) \in D_k$, 满足对 $\forall (x_j, y_j) \in D_k$, 有 $y_j \leq y_i$, 则选择 (x_i, y_i) 作为新的第 k 个聚类的聚类中心. 即取聚类域中具有最大的样本输出值的样本作为新的聚类中心. 同理, 搜索局部极小值时, 取聚类域中具有最小的样本输出值的样本作为新的聚类中心.
- 4) 检查聚类中心是否发生了变化: 是, 则返回2.
- 5) 检查聚类中心是否临近, 即是否存在 $\|c_i - c_k\| < \epsilon$, ($\epsilon > 0$), 是则归并最相邻的两类, 然后返回2; 否则算法结束.

以这一算法为基础, 可以这样完成对训练集的划分: 先求出样本集的局部极大值中心, 再求出局部极小值中心, 将所求出的中心合并为样本集极值中心集, 再按邻近原则(即算法第2步)重新划分样本区域.

极值聚类与其它多 ANN 结构中子网络功能划分和协作方法不同的是, 不仅利用了样本集的输入, 同时利用了样本集的输出, 进行的是针对函数关系的聚类. 通过划分降低

了函数的复杂性, 所确定的子任务是子网络易于实现的, 具有明确的几何意义, 子网络的数目也是由问题的复杂性所决定的.

3.2 多 ANN 结构的极值聚类训练算法

由此可以得到基于极值聚类的多 ANN 训练算法:

1) 对整体样本集按极值聚类算法进行划分, 选择初始分类数 $K = \text{样本总数}/50$, 经分类及归并后可以得到 K 个极值聚类中心 $c_k, k=1, 2, \dots, K$. 由邻近原则确定各子类的子样本集 D_k ;

2) 初始化各子网络 ANN_k , 在各训练子集 D_k 内, 测试初始逼近误差 E_k ;

3) 找出逼近误差最大的子网络 ANN_k , 在相应的训练子集 D_k 内, 按某种训练算法的训练 T 步(这里取 $T=50$);

4) 检查是否所有 E_k 均小于规定误差限, 是则训练结束, 否则返回3.

在网络工作阶段, 只需对当前输入值由邻近原则确定其所属类, 激活该类对应的各子网络得到网络的输出值, 并以此作为整体网络输出值.

因为, MFNN 对一个紧集上的任意连续函数具有任意逼近性, 每个子网络可以任意逼近由子样本集所反映的函数关系, 这样由这些子网络的共同作用就可以得到对整体样本集的任意逼近.

4 基于多 ANN 结构的复杂系统长时段预报

多 ANN 模型中, 可以认为门控网络与各子网络是在不同精度上对系统的描述. 门控网络完成的是对系统输入的模式分类, 是对系统的一种粗线条的、定性的描述. 各子网络是对各输入模式类的输出估计, 是对系统的一种定量的描述. 因此, 可将门控网络的训练与各子网络的训练分开, 前者采用极值聚类算法离线进行. 这里提出的算法是在多 ANN 长时段预报模型中对各子网络的修正算法.

对一个实际对象, 可以量测到一组实际的输入—输出数据 $\{u(t), y_p(t) | t=1, 2, \dots, T\}$. 通过适当的实验设计, 它可以在相当大的程度上反映出我们所关心的对象性态. 根据这组数据, 可以离线建立对象的长时段预报模型.

这里以并联连接的 NARMA 模型作为长时段预报模型, 以 ANN 模型描述如下:

$$\left\{ \begin{array}{l} y_m(t) = \sum_{s=1}^S g_s(X(t)) \cdot y_s(X(t), \theta_s) \\ X(t) = [y_m(t-1)^T, \dots, y_m(t-K_y)^T, u(t-1)^T, \dots, u(t-K_u)^T]^T \\ = [X_1(t)^T, \dots, X_{K_y}(t)^T, X_{K_y+1}(t)^T, \dots, X_{K_y+K_u}(t)^T]^T, \end{array} \right. \quad (3)$$

其中 g_s 表示门控网络的第 s 个输出量, y_s 表示第 s 个子网络的输出值, 网络形式如第2节所述.

在训练时, 1 到 P 步输出预报模型辨识的指标函数定义为

$$\begin{aligned} J(P) &= \frac{1}{2} \sum_{t=1}^P \sum_{s=1}^S g_s^2(X(t)) \cdot \|y_p(t) - y_s(X(t), \theta_s)\|^2 \\ &= \frac{1}{2} \sum_{t=1}^P \sum_{s=1}^S g_s^2(X(t)) \cdot \|\epsilon_s(t)\|^2, \end{aligned} \quad (4)$$

其中 $\varepsilon_s(t) = y_p(t) - y_s(X(t), \theta_s)$ 是 t 时刻的第 s 个子网络的估计误差. $J(P)$ 反映了各子网络 1 到 P 步输出预报的总误差. $J(P)$ 的定义是假定每一个子网络要逼近的仍然是对象的整体特性, 只是在响应一个输入时对各子网络的信任度(由 g_s 决定)是不同的.

设已知模型输出初始值 $y_m(-K_y+1), y_m(-K_y+2), \dots, y_m(0)$, 控制输入 $u(-K_u+1), \dots, u(0), u(1), \dots, u(P-1)$, 和期望输出轨线 $y_p(1), y_p(2), \dots, y_p(P)$. 长时段预报模型的离线训练问题可描述为: 在给定的模型结构(3)下, 确定模型参数 $\theta = (\theta_1^T, \theta_2^T, \dots, \theta_s^T)^T$, 使式(4)的指标函数最小.

在给出训练算法前, 首先需求出目标函数对各子网络参数的导数

$$\frac{\partial J(P)}{\partial \theta} = \sum_{t=1}^P \sum_{s=1}^S \left(-g_s(X(t))^2 \cdot \left(\frac{\partial^+ y_s(X(t), \theta_s)}{\partial \theta^T} \right)^T \cdot \varepsilon_s(t) \right), \quad (5)$$

其中 $\frac{\partial^+}{\partial \theta}$ 称为有序偏导(ordered derivatives)^[6], 表示对变量 θ 考虑各种可能存在的复合函数关系之后求得的偏导数. (5)式中的有序偏导可由下面的式子计算得到:

$$\frac{\partial^+ y_s(X(t), \theta_s)}{\partial \theta^T} = \frac{\partial y_s(X(t), \theta_s)}{\partial \theta^T} + \sum_{i=1}^{K_y} \left(\frac{\partial y_s(X(t), \theta_s)}{\partial X_i(t)^T} \cdot \frac{\partial^+ y_m(t-i)}{\partial \theta^T} \right). \quad (6)$$

而网络整体输出对参数的灵敏度方程为

$$\frac{\partial^+ y_m(t)}{\partial \theta^T} = \sum_{s=1}^S \left(g_s(X(t)) \frac{\partial^+ y_s(X(t), \theta_s)}{\partial \theta^T} \right). \quad (7)$$

从这几个导数计算公式中可以看出, 当前时刻输出对模型参数的偏导数, 通过网络输入连接依赖于前 K_y 步的输出对参数的偏导数. 换言之当前时刻的误差会通过模型输入连接, 反向传播到网络工作的过去时刻中. 这就是沿时间的反向传播的思想. 其中式(6)反应了通过第 s 个子网络的反向传播.

需要指出的是, 在极值聚类多 ANN 模型内, 还存在一条通过门控网络的反馈通路. 但由于门控网络的输出值是通过求极值得到的, 每一时刻 g_k 中只有一个 1, 其余全部是 0, 所以门控网络的输出对输入是不可导的. 在假设 $X(t)$ 只有微小的变化时不影响 g_k 的取值的前提下, 可认为 g_k 对输入的导数为 0. 因此对极值聚类的多 ANN 模型只考虑误差通过各子网络的反向传播, 不考虑通过门控网络的反向传播.

结合 MFNN 的反向传播算法, 可得到如下的多 ANN 长时段预报模型离线辨识算法. 在第 $\theta-1$ 次更新之后, 计算第 θ 次权值更新

1. 初始化: $\frac{\partial^+ y_m(0)}{\partial \theta^T} = \dots = \frac{\partial^+ y_m(-K_y+1)}{\partial \theta^T} = 0$;

2. 对 $t=1, 2, \dots, P$, 计算

a) 样本正向、反向传播. 由门控网络计算出 t 时刻各子网络的输出加权 $g_s(t)$, 对被激活子网络由(6)式计算 $\frac{\partial^+ y_s(X(t), \theta_s)}{\partial \theta^T}$;

b) 计算累计梯度值;

c) $G(t) = G(t-1) + \sum_{s=1}^S \left(-g_s(X(t)) \cdot \left(\frac{\partial^+ y_s(X(t), \theta_s)}{\partial \theta^T} \right)^T \cdot \varepsilon_s(t) \right)$;

d) 由式(7)更新 $\frac{\partial^+ y_m(t)}{\partial \theta^T}$.

3. 采用某种方法更新各子网络权值阵. 可以选用 BP 型更新公式. 这里采用的是基

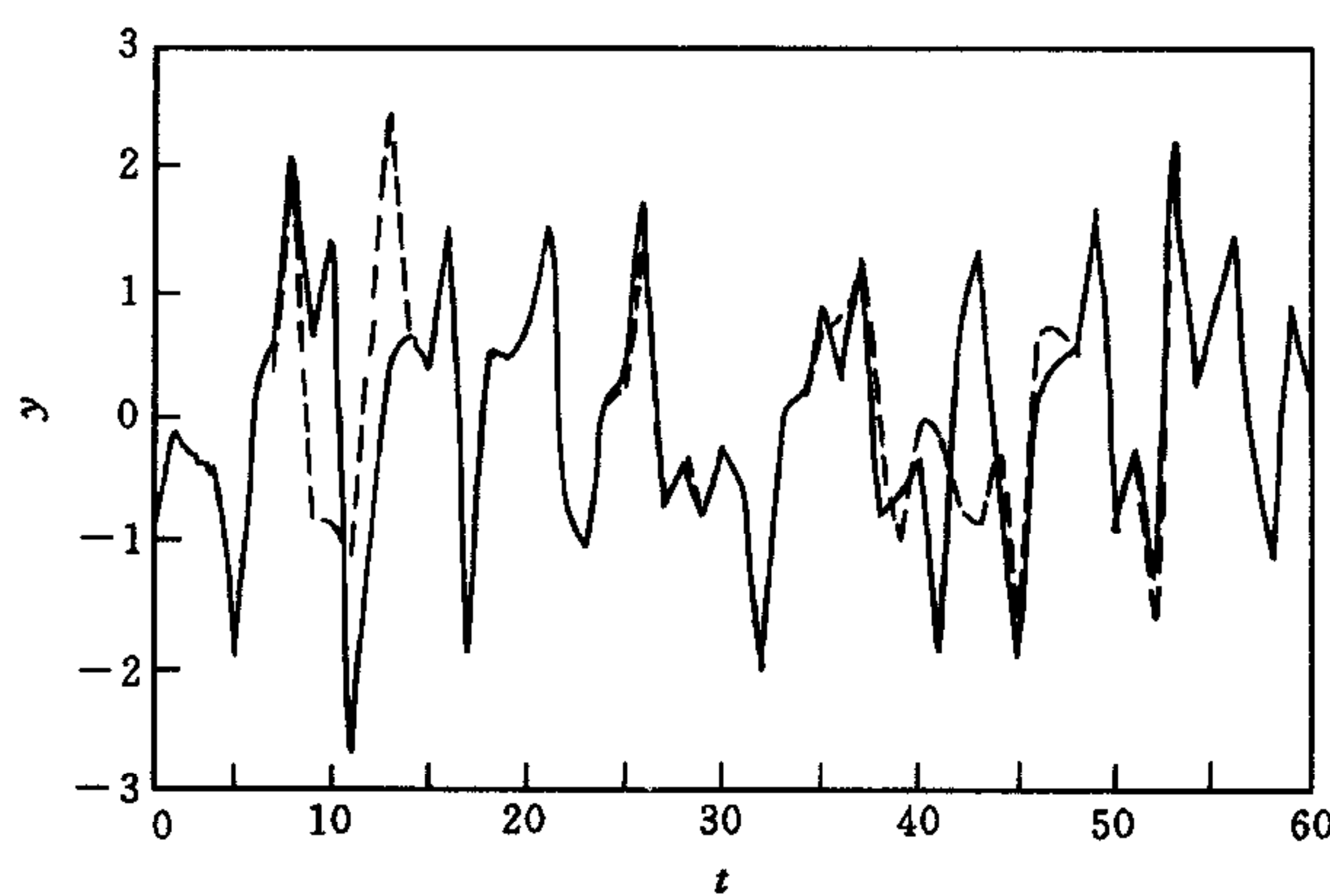
于变尺度法改进 BP 算法.

5 数值仿真

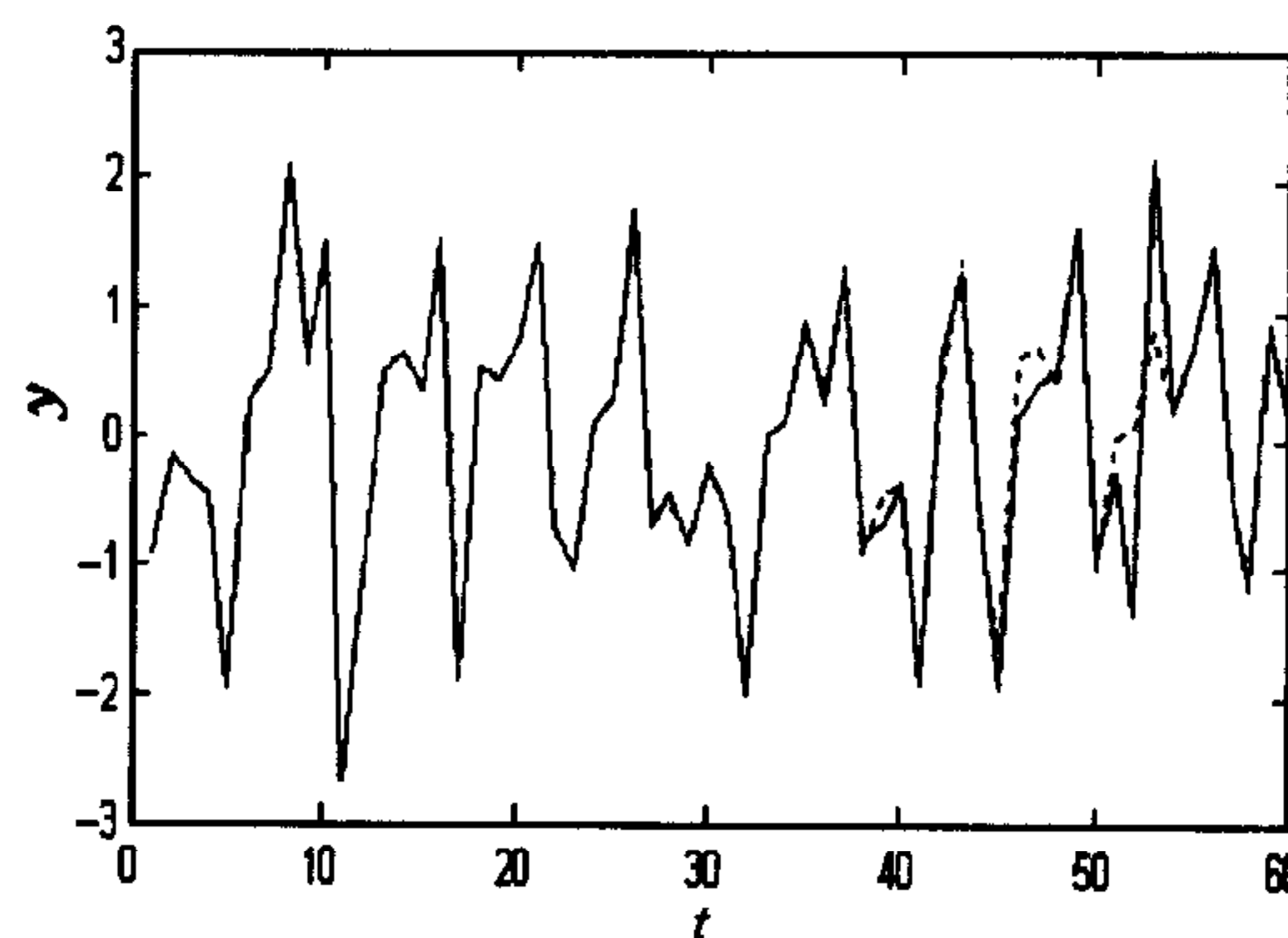
这里比较一下多 ANN 模型与单 ANN 模型的差别. 考虑动态系统

$$y(t+1) = \sin(\pi \cdot y(t)) \cdot \exp(-u(t)). \quad (8)$$

首先建立一步预报模型. 设精度要求为均方差 $MSE < 0.0001$. 单 ANN 模型, 采用隐节点数可变的修正变尺度 BP 训练算法, 经过 2056 次迭代, 达到精度要求. 隐节点从 6 个开始增加到 19 个. 对多 ANN 模型, 采用极值聚类训练算法, 先对样本空间进行划分, 得到 6 个极值中心; 各子网络分别经过 568, 543, 675, 522, 520, 495 次训练达到精度要求, 隐节点数目分别为 8, 7, 6, 8, 8, 8 个. 由一步预报模型进行长时段预报, 分别从第 10 和 40 个采样时刻开始进行两次 30 步预报, 结果都不理想. 在一步预报模型的基础上, 再采用本文提出的方法进行长时段预报模型的辨识. 对单 ANN 模型, 经 50 次修正均方差为 0.4577, 之后不再下降. 对多 ANN 模型, 经 68 次迭代, 均方差为 0.0741. 多 ANN 模型的效果改善比较明显. 如图 2(a), (b) 所示, 图中实线表示对象输出曲线, 虚线表示模型预报输出曲线.



(a) 单网络的 30 步长时段预报模型学习结果



(b) 多网络的 30 步长时段预报模型学习结果

图 2 单网络与多网络模型预报结果对比

6 小结

本文提出了一种基于极值聚类的多 ANN 结构训练方法,并将多 ANN 结构应用于复杂系统长时段预报,提出了基于多 ANN 结构的长时段预报模型的离线批方式辨识算法。所提出的多 ANN 结构的极值聚类学习策略,可以大大提高预报精度,对于具有多极值特性的一类复杂系统预报问题是一种可行的方法。本文的方法可以作为进一步建立基于多 ANN 模型的复杂控制系统预测控制系统的基础。

参 考 文 献

- [1] Jacobs R A, Jordon M I et al. Adaptive Mixtures of local experts. *Neural Computation*, 1991, **3**:79—87.
- [2] Cho S B, Kim J H. combining multiple neural networks by fuzzy integral for recognition. *IEEE Trans SMC*, 1995, **25**(1).
- [3] Narendra K S, Levin A U. Regulation of nonlinear dynamical systems using multiple neural networks., In: Proc. of ACC, 1990, 1609—1614.
- [4] Hrycej T. A Modular Architecture for Efficient Learning. Int'l Joint Conf. on Neural Networks, San Diego. 1990, **1**:557—562.
- [5] Li Renhou, Gao Feng. Complex function approximatio based on multi-ANN approach. *Chinese Journal of Systems Engineering and Electronics*, 1995, **6**(2):22—31.
- [6] Werbos P J. Backpropagation through time;what is does and how to do it? Proc. of IEEE. 1990, **78**:1550—1560.

LONG-TERM PREDICTION FOR COMPLEX SYSTEM BASED ON MULTIPLE ANN MODELS

GAO FENG LI RENHOU

(*Systems Engineering Institute, Xi'an Jiaotong University, Xi'an 710049*)

Abstract An extremum clustering approach for multiple artificial neural networks is developed in this paper. Then it is used for long-term prediction of complex dynamic system. With this method the long-term prediction precision and model robustness can be improved. This approach can be used for complex system predictive control using multiple ANNs.

Key words Multiple ANNs, multi-layer feedforward neural networks, prediction of nonlinear systems.